

III-138 砂層の動的変形特性の室内実験と現場測定の比較

建設省土木研究所 ○学生員 吉田精一 正員 岩崎敏男 正員 龍岡文夫

§はじめに

地盤や構造物の耐震設計を行う上で、地盤の動的せん断変形特性（せん断変形係数G、減衰係数）が必要である。今回の報告は、伊勢湾岸道路の一環として名港大橋等の建設が予定されていて、地中地震計が設置されている名古屋市金城埠頭地点から採取された乱した砂質試料を用いて行った共振法土質試験と現場弹性波測定によるGの値の比較を行ったものである。

§調査結果

本試験は、外径10cm、内径6cm、高さ25cmの中空筒試体を用いた。調査地点の地盤概況は、深さ約13mを境に沖積層（埋立砂）と洪積層より成り、(図-3)今回実験を行った試料は両層にわたって採取したもので、その物理特性を表-1、図-1に示す。実験はいずれも $\gamma/\gamma_0 = 1.0$ 、空気乾燥状態で行った。この方法によって求めた値は、 $\gamma/\gamma_0 = 1.0$ 、飽和条件でのGの値と同じ平均主応力 $P = (\gamma_0 + 2\gamma)/3$ のもとではほぼ同じである。 γ_0 、各試験について得られた実験式を表-1に示す。尚、シルト分以下を含まず粒度の揃ったきれいな砂については、次式が成立する。

$$\gamma = 10^{-6} \text{ に対して } G = 900 \frac{(2.17-e)^2}{1+e} p^{0.38} \quad (1) \quad \gamma = 10^{-4} \text{ に対して } G = 700 \frac{(2.17-e)^2}{1+e} p^{0.5} \quad (2)$$

金城砂は、シルト分以下を含み粒度もそろっていないため(1)(2)式によるGの値よりも値は小さい。次に室内実験結果からGを推定する手法を示す。これは既に南伊豆町入間、扇島³⁾番の川⁴⁾で実施しているのと同じ手法である。(1)地中の有効応力状態分布の算定：有効上載荷 γ_0 は、地下水位の位置と単位体積重量 γ_0 から決める。これは最初推定値を用いた後で D_f から求めたなど違いかチェックする。 $P = (\gamma_0 + 2k_0\gamma_0)/3$ は沖積層で $k_0 = 0.5$ 、洪積砂層で0.5と1.0で求めた。(2) D_f の算定： D_f はN値と γ_0 から求めるが、沖積砂層では次の二つの方法によった。(a) Gibbs and Holtz⁵⁾の $N_f \sim N$ 値～ D_f 図を用いる方法。(b)扇島での実験により今井⁶⁾が求めた次式を用いる方法。

$$\frac{N}{D_f} = 236v^{\frac{2}{3}} \quad (3) \quad (v > 0.5 \text{ kg/cm}^2)$$

(a)は沖積砂層の D_f を過小評価する傾向がある。陶野・畠中⁷⁾によると洪積砂層での乱した砂とminより粗さない試料の v が小さく、これは見掛け上の $D_f > 100\%$ であることを意味している。我々は吉見。

表-1 金城砂の物理性表

試料名	深さ (m)	U_c	シルト分 含有量	G_s	e_{max} ²⁾	e_{min} ²⁾	G の $\gamma = 10^{-4}$ での実験式 (kg/cm^2)	G の $\gamma = 10^{-6}$ での実験式 (kg/cm^2)
1 GL. 0.0	2.88	3.0	2.66	1.112	0.71		$670 \frac{(2.17-e)^2}{1+e} p^{0.411}$	$550 \frac{(2.17-e)^2}{1+e} p^{0.516}$
2 GL. -3.45～-3.78	3.89	8.8	2.67	1.415	0.91		$850 \frac{(2.17-e)^2}{1+e} p^{0.533}$	$615 \frac{(2.17-e)^2}{1+e} p^{0.685}$
3 GL. -13.00～-19.80	2.88	3.1	2.62	1.084	0.68		$670 \frac{(2.17-e)^2}{1+e} p^{0.433}$	$480 \frac{(2.17-e)^2}{1+e} p^{0.525}$
4 GL. -21.00～-24.00	-1)	23.8	2.64	1.433	0.85		$720 \frac{(2.17-e)^2}{1+e} p^{0.488}$	$525 \frac{(2.17-e)^2}{1+e} p^{0.551}$
5 GL. -42.60～-48.50	-1)	12.5	2.66	1.377	0.84		$880 \frac{(2.17-e)^2}{1+e} p^{0.497}$	$615 \frac{(2.17-e)^2}{1+e} p^{0.637}$
6 GL. -48.50～-50.00	-1)	11.2	2.68	1.374	0.87		$840 \frac{(2.17-e)^2}{1+e} p^{0.535}$	$600 \frac{(2.17-e)^2}{1+e} p^{0.626}$
7 GL. -62.00～-64.00	3.38	8.8	2.66	1.370	0.85		$885 \frac{(2.17-e)^2}{1+e} p^{0.423}$	$600 \frac{(2.17-e)^2}{1+e} p^{0.515}$

1) シルト分以下の粒度分布を求めてないので D_f は不明

2) 吉見・陶野の方法による。シルト分の入った砂は共振法での実験で拘束圧をかけると $e < e_{min}$ になりうる。

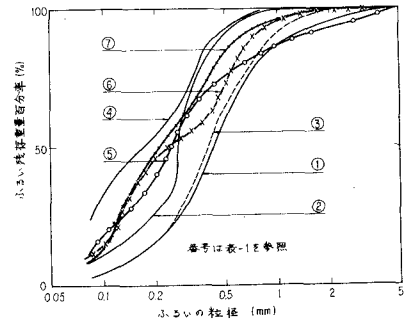


図-1. 金城砂の粒度分布

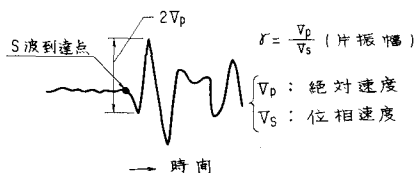


図-2. PS機器における水平動の記録との定義

陶野の方法で ϵ_{max} 、 ϵ_{min} を求め、 ϵ 、 N の算出しているか、(a)の方法で ϵ を求める $D \rightarrow 100\%$ であり、上述のことと矛盾するため、一応沖積砂層では $D = 100\%$ とした。以上の手順で ϵ 、 P を求め、表-1の実験式を用いて G の値を算出した。現場での弾性波測定で得られた V_s の値から次式によて G の値を求めた。

$$G = \frac{\gamma_e}{g} V_s^2 \quad \dots (4)$$

現場測定と室内実験による G の値の比較を図-3に示す。沖積砂層では、(a)(b)2種法による ϵ を用いた G の値には大差なく、さらた全般的に現場測定と室内実験による G は一致する。洪積砂層では一致しない。室内実験による洪積砂の G の

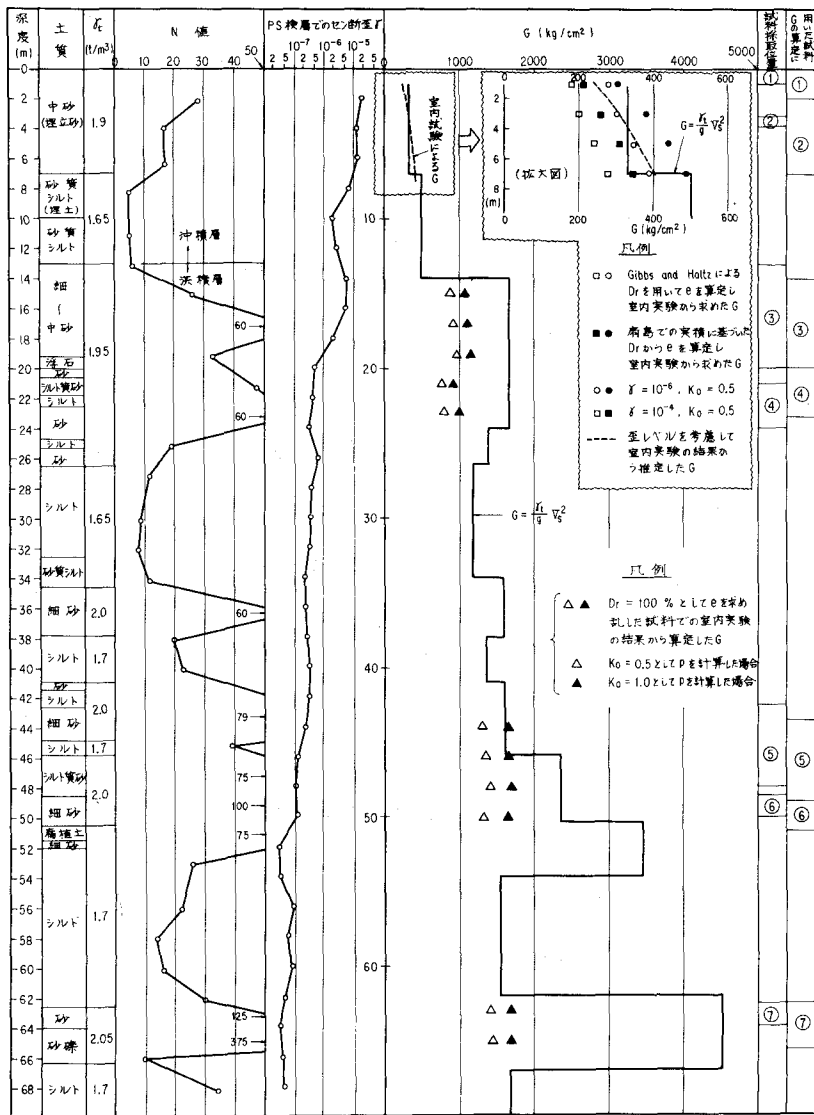


図-3 金城埠頭地盤柱状図

過小評価の原因は、次の3点にあると思われる。(a)の過大評価($N \rightarrow D \rightarrow \epsilon$ の手順過程における諸要表推定の誤り) (b) K_0 の過小評価(C活した試料での実験(過密や長期間圧密効果の無視))

沖積砂層においては、室内実験と現場測定の G の値が一致することが確認された。今後は洪積砂層の G の評価方法に対する検討を重ねる必要がある。本調査は、建設省中部地方建設局が伊勢湾岸道路地質調査の一環として行われたものであり、実験・解析にあたっては株式会社横田耕一郎氏の協力を得た。感謝の意を表します。

参考文献: 1) 土木研究所資料912号 1974年5月 2) 岩崎・龍馬・吉田(1976)「砂の動的変形特性とおよび粒度分布の影響」第1回土質工学研究発表会
3) 岩崎・岩崎・吉田(1975.12)「砂地盤の動的変形特性の現場測定と室内実験」土基礎 No.304 4) 第14回地盤工学研究発表会(1976.7)岩崎・龍馬・高木・吉田「砂の動的変形特性と室内実験結果」5) Gibbs and Holtz, (1957) "Research on Determining the Density of Sand by Spoon Penetration Test" Proc 4th I.C.S.M.F. 6) 今井玉郎(住友建設)私信 7) 陶野・畠中「砂地盤の相対密度」(1974)第1回土質工学研究発表会 8) Yoshimi, Tohno, (1972) "Statistical Significance of the Relative Density," ASTM, STP523